

第二节课习题

高洪臣

2019 年 6 月 23 日

基础作业

1. 设置 IMU 仿真代码中的不同参数，生成 Allan 方差 [1] 曲线

(1) 参数 1

在 IMU 仿真代码 `vio_data_simulation(ros version)` 中设置参数，生成 bag 文件

```
double gyro_bias_sigma = 0.00005;  
double acc_bias_sigma = 0.0005;  
double gyro_noise_sigma = 0.015; // rad/s  
double acc_noise_sigma = 0.019; // m/(s^2)
```

根据生成的 bag 文件，通过 `imu_utils` 生成 Allan 方差曲线

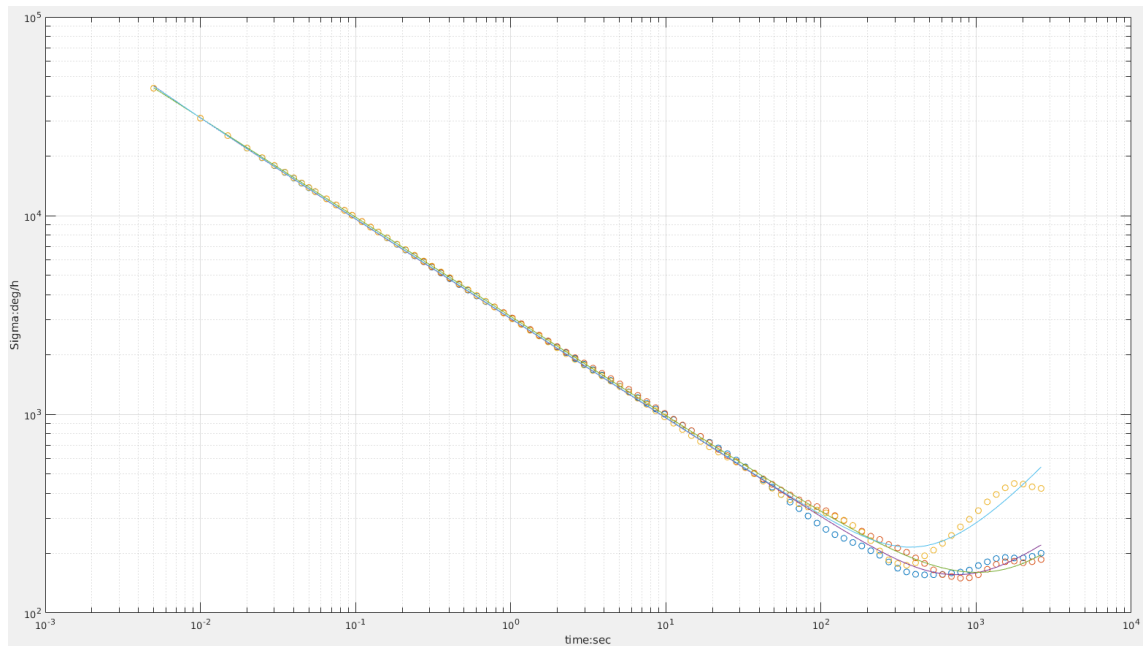


Figure 1: AD log-log plot of Gyroscope

根据 Allan 方差曲线1, $\sigma_g = 3007 \frac{\text{deg}}{\text{h}} \frac{1}{\sqrt{\text{hz}}} = 0.014578 \frac{\text{rad}}{\text{s}} \frac{1}{\sqrt{\text{hz}}}$, σ_{bg} 的数量级在 10^{-5} ;
根据 Allan 方差曲线2, $\sigma_a = 0.01883 \frac{\text{m}}{\text{s}^2} \frac{1}{\sqrt{\text{hz}}}$, σ_{ba} 的数量级在 10^{-4} 。

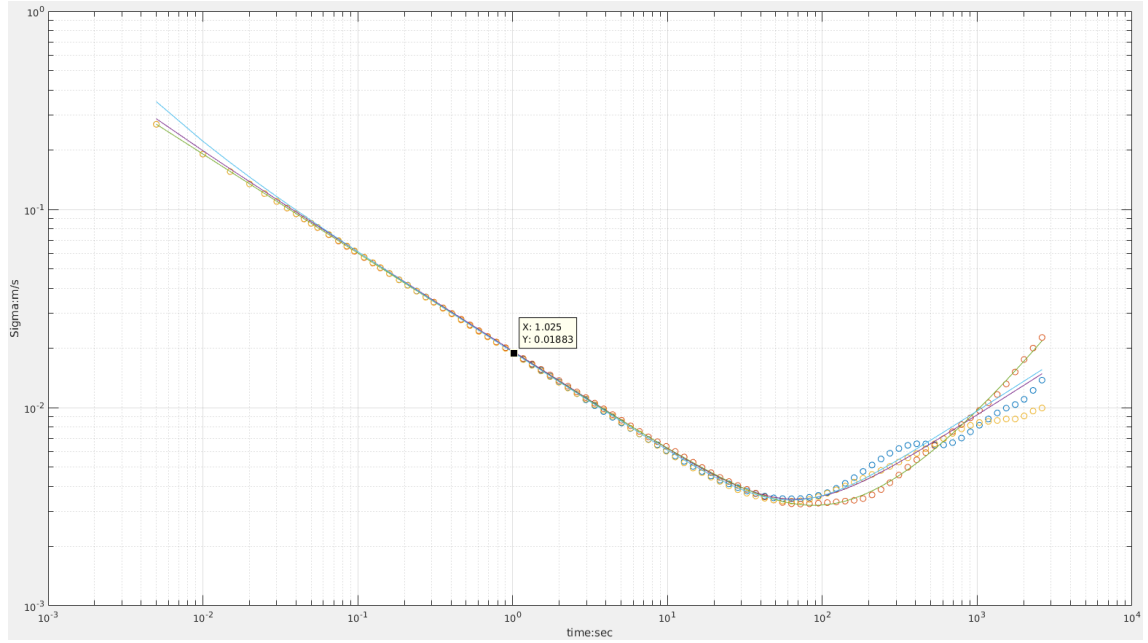


Figure 2: AD log-log plot of Acceleration

(2) 参数 2

在 IMU 仿真代码 `vio_data_simulation(ros version)` 中设置参数，生成 bag 文件

```
double gyro_bias_sigma = 0.00001;
double acc_bias_sigma  = 0.0001;
double gyro_noise_sigma = 0.005; // rad/s
double acc_noise_sigma  = 0.0003; // m/(s^2)
```

根据生成的 bag 文件，通过 `imu_utils` 生成 Allan 方差曲线

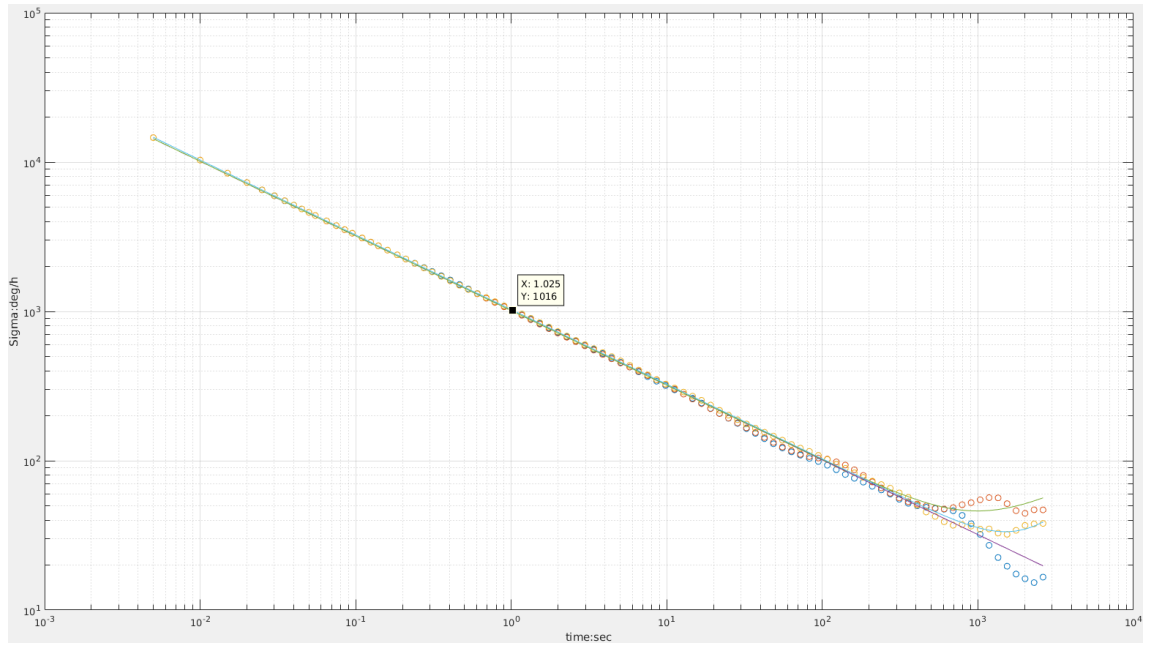


Figure 3: AD log-log plot of Gyroscope

根据 Allan 方差曲线3, $\sigma_g = 1016 \frac{\text{deg}}{\text{h}} \frac{1}{\sqrt{\text{hz}}} = 0.0049 \frac{\text{rad}}{\text{s}} \frac{1}{\sqrt{\text{hz}}}$, σ_{bg} 的数量级在 10^{-5} ;

根据 Allan 方差曲线4, $\sigma_a = 0.0002998 \frac{\text{m}}{\text{s}^2} \frac{1}{\sqrt{\text{hz}}}$, σ_{ba} 的数量级在 10^{-4} 。

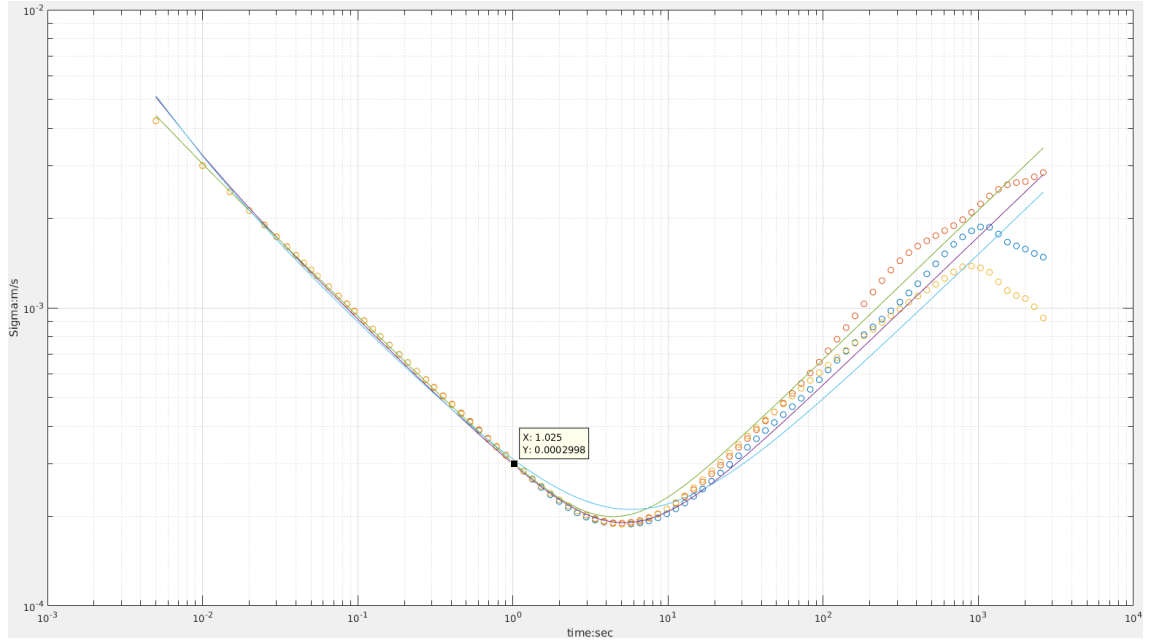


Figure 4: AD log-log plot of Acceleration

2. 将 IMU 仿真代码中的欧拉积分替换成中值积分

```

MotionData imupose = imudata[i];
MotionData imupose_p = imudata[i-1];

Eigen::Vector3d imu_gyro_c = imupose.imu_gyro;
Eigen::Vector3d imu_gyro_p = imupose_p.imu_gyro;

Eigen::Vector3d imu_acc_c = imupose.imu_acc;
Eigen::Vector3d imu_acc_p = imupose_p.imu_acc;

Eigen::Quaterniond dq;
Eigen::Vector3d dtheta_2 = (imu_gyro_c + imu_gyro_p) * dt * 0.25;
dq.w() = 1;
dq.x() = dtheta_2.x();
dq.y() = dtheta_2.y();
dq.z() = dtheta_2.z();

Eigen::Quaterniond Qwb_p = Qwb;
Qwb = Qwb_p * dq;

Eigen::Vector3d acc_w_c = Qwb * imu_acc_c + gw;
Eigen::Vector3d acc_w_p = Qwb_p * imu_acc_p + gw;
Eigen::Vector3d acc_w = 0.5 * (acc_w_c + acc_w_p);

Pwb = Pwb + Vw * dt + 0.5 * dt * dt * acc_w;

Vw = Vw + acc_w * dt;

```

中值积分代码

提升作业

阅读从已有轨迹生成 imu 数据的论文, 撰写总结推导:

已知 k 阶 ($k-1$ 次) B 样条 (B-spline) 曲线的表达式 [2],[3] 为:

$$P(t) = \sum_{i=0}^n P_i B_{i,k}(t), \quad s.t. \quad P_i \in \mathbb{R}^N, t \in [t_{k-1}, t_{n+1}] \quad (1)$$

其中, $P_i \in \mathbb{R}^N$ 为在时刻 t_i ($i \in 0, 1, \dots, n$) 的控制点, $B_{i,k}$ 为 B 样条基函数, 其 DeBoor-Cox 递推公式为

$$B_{i,1}(t) = \begin{cases} 1 & \text{if } t \in [t_i, t_{i+1}), \\ 0 & \text{otherwise.} \end{cases} \quad (2)$$

$$B_{i,k}(t) = \left(\frac{t - t_i}{t_{i+k-1} - t_i} \right) B_{i,k-1}(t) + \left(\frac{t_{i+k} - t}{t_{i+k} - t_{i+1}} \right) B_{i+1,k-1}(t), \quad k > 1$$

根据 [4], 公式(1)可转换成累积 (Cumulative) 形式,

$$P(t) = P_0 \tilde{B}_{0,k}(t) + \sum_{i=1}^n (P_i - P_{i-1}) \tilde{B}_{i,k}(t) \quad (3)$$

其中,

$$\tilde{B}_{i,k}(t) = \sum_{j=i}^n B_{j,k}(t) \quad (4)$$

我们使用 4 阶 3 次 ($k=4$) 均匀 B 样条曲线 [3], 均匀时间间隔为 Δt ; 在 3 次 B 样条中, 时刻 t 的曲线受 4 个控制点的影响, 我们定义这 4 个控制点为在时刻 $[t_{i-1}, t_i, t_{i+1}, t_{i+2}]$ 。

为了方便表示, 定义 $s(t)$ 将 t_i 的控制点转换到 $s_i \in [0, 1, \dots, n]$

$$s(t) = \frac{t - t_0}{\Delta t} \quad (5)$$

定义

$$u(t) = s(t) - s_i \quad (6)$$

根据公式(2)(3)(4), $\tilde{\mathbf{B}}(u)$ 的矩阵形式

$$\tilde{\mathbf{B}}(u) = \mathbf{C} \begin{bmatrix} 1 \\ u \\ u^2 \\ u^3 \end{bmatrix}, \quad \mathbf{C} = \frac{1}{6} \begin{bmatrix} 6 & 0 & 0 & 0 \\ 5 & 3 & -3 & 1 \\ 1 & 3 & 3 & -2 \\ 0 & 0 & 0 & 1 \end{bmatrix} \quad (7)$$

定义 $\tilde{\mathbf{B}}_j(u)$ 为 $\tilde{\mathbf{B}}(u)$ 的第 j 个元素 (起始索引为 0), 则 $\tilde{\mathbf{B}}_0(u) = 1$ 。
 $\tilde{\mathbf{B}}(u)$ 对时间 t 的一阶和二阶导数为

$$\dot{\tilde{\mathbf{B}}}(u) = \frac{1}{\Delta t} \mathbf{C} \begin{bmatrix} 0 \\ 1 \\ 2u \\ 3u^2 \end{bmatrix} \quad (8)$$

$$\ddot{\tilde{\mathbf{B}}}(u) = \frac{1}{\Delta t^2} \mathbf{C} \begin{bmatrix} 0 \\ 0 \\ 2 \\ 6u \end{bmatrix} \quad (9)$$

已知世界坐标系下的轨迹 \mathbf{T}_{wi} ，其表示形式为

$$\begin{aligned}\mathbf{T}_{wi} &= [\mathbf{p} \quad \mathbf{q}] \\ &= [p_x \quad p_y \quad p_z \quad q_x \quad q_y \quad q_z \quad q_w]\end{aligned}\quad (10)$$

分别推导 \mathbf{p} 和 \mathbf{q} 的 3 次 B 样条曲线，根据公式(3)(7) \mathbf{p} 的 B 样条曲线表达式为

$$\mathbf{p}(u) = \mathbf{p}_{i-1} + \sum_{j=1}^3 (\mathbf{p}_{i+j-1} - \mathbf{p}_{i+j-2}) \tilde{\mathbf{B}}_j(u) \quad (11)$$

通过指数和对数映射、替换 P 为 \mathbf{q} 、向量加法改为四元数乘法 [4]，公式(3)重写为

$$\mathbf{q}(u) = \mathbf{q}_{i-1} \prod_{j=1}^3 \exp(\log(\mathbf{q}_{i+j-2}^{-1} \mathbf{q}_{i+j-1}) \tilde{\mathbf{B}}_j(u)) \quad (12)$$

为了求加速度，先求 $\mathbf{p}(u)$ 对时间 t 的一阶导数，

$$\dot{\mathbf{p}}(u) = \mathbf{p}_{i-1} + \sum_{j=1}^3 (\mathbf{p}_{i+j-1} - \mathbf{p}_{i+j-2}) \dot{\tilde{\mathbf{B}}}_j(u) \quad (13)$$

则二阶导数为

$$\ddot{\mathbf{p}}(u) = \mathbf{p}_{i-1} + \sum_{j=1}^3 (\mathbf{p}_{i+j-1} - \mathbf{p}_{i+j-2}) \ddot{\tilde{\mathbf{B}}}_j(u) \quad (14)$$

为了求角速度，再求 $\mathbf{q}(u)$ 对时间 t 的一阶导数，

$$\dot{\mathbf{q}}(u) = \mathbf{q}_{i-1} (\dot{A}_1 A_2 A_3 + A_1 \dot{A}_2 A_3 + A_1 A_2 \dot{A}_3) \quad (15)$$

其中，

$$A_j = \exp(\log(\mathbf{q}_{i+j-2}^{-1} \mathbf{q}_{i+j-1}) \tilde{\mathbf{B}}_j(u)) \quad (16)$$

$$\dot{A}_j = A_j \log(\mathbf{q}_{i+j-2}^{-1} \mathbf{q}_{i+j-1}) \dot{\tilde{\mathbf{B}}}_j(u) \quad (17)$$

所以，IMU 的加速度和角速度分别为

$$\mathbf{a}_m(u) = \mathbf{R}_{wb}^T \cdot (\ddot{\mathbf{p}}(u) + g_w) + b_a \quad (18)$$

$$\omega_m(u) = \mathbf{R}_{wb}^T \cdot 2[\mathbf{q}^{-1}(u) \dot{\mathbf{q}}(u)]_{xyz} + b_g \quad (19)$$

参考文献

- [1] Allan Variance. Noise analysis for gyroscopes. *Freescale Semiconductor Document Number: AN5087 Application Note Rev. 0*, 2, 2015.
- [2] 孙家广. 计算机图形学. 清华大学出版社, 1998.
- [3] Steven Lovegrove, Alonso Patron-Perez, and Gabe Sibley. Spline fusion: A continuous-time representation for visual-inertial fusion with application to rolling shutter cameras. In *BMVC*, volume 2, page 8, 2013.
- [4] Myoung-Jun Kim, Myung-Soo Kim, and Sung Yong Shin. A general construction scheme for unit quaternion curves with simple high order derivatives. In *SIGGRAPH*, volume 95, pages 369–376, 1995.